

**Erratum**

**Erratum à l’article / Erratum to the article : *Approche morphométrique des dents jugales déciduales d’Equus caballus arcelini (sensu lato, Guadelli 1991) : critères de détermination et estimation de l’âge d’abattage***  
**[C. R. Palevol 5 (2006) 1005–1020]**

Olivier Bignon

Les figures 2, 3, 4, 5, 6, 7, 10 et 11 de cet article ont été mal reproduites. Nous les republions ci-après telles qu’elles auraient dû apparaître.

Nous prions l’auteur et nos lecteurs de bien vouloir excuser cet incident.

L’éditeur

Figures 2, 3, 4, 5, 6, 7, 10 and 11 of this article have been misprinted. They are given below as they should have appeared.

We apologize to the author and our readers for the inconvenience.

The Publisher

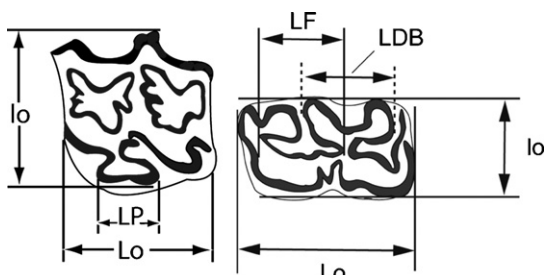


Fig. 2. Mesures morphométriques des dents jugales supérieures et inférieures (d’après V. Eisenmann [8,9], modifié) : Lo = longueur occlusale ; lo = largeur occlusale ; LP = longueur protocône ; LF = longueur du post-flexide ; LDB = longueur de la double boucle.

Fig. 2. Morphometrical measurements of the upper and lower jugal teeth (original illustration by V. Eisenmann [8,9], modified): Lo = occlusal length; lo = occlusal width; LP = protocone length; LF = postflexid length; LDB = double-knot length.

DOI of the original article:10.1016/j.crpv.2006.09.004.

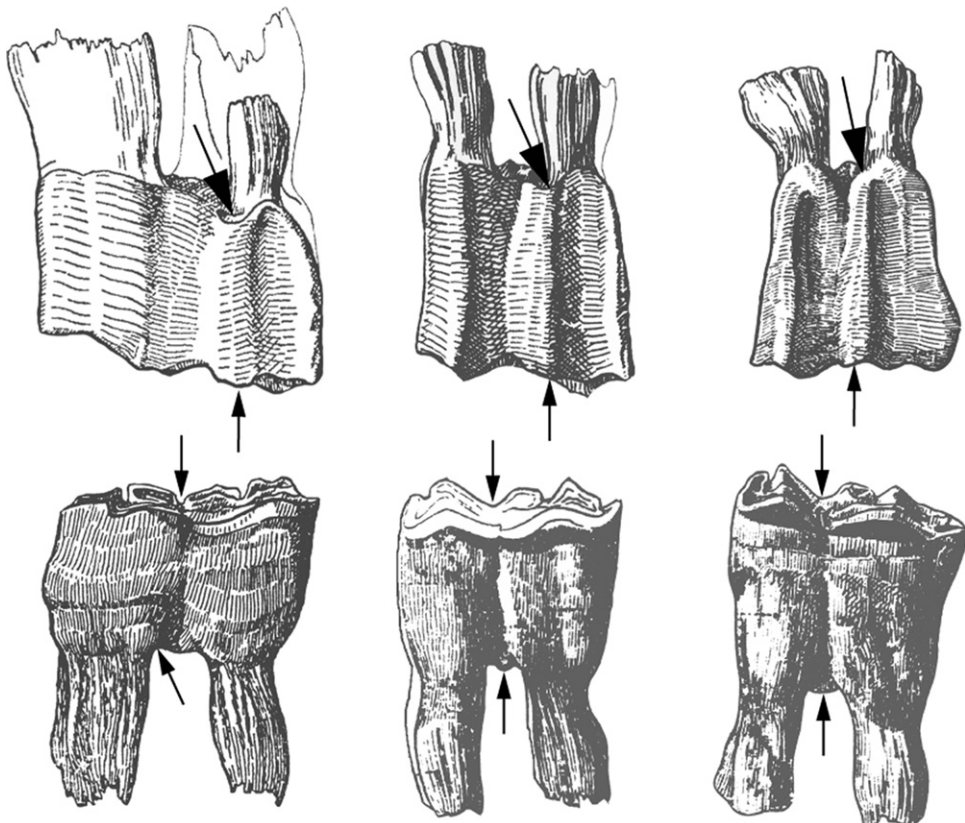


Fig. 3. Points de mesure des dents jugales déciduales pour prendre les hauteurs de couronne.  
Fig. 3. Crown height landmarks of the jugal milk teeth.

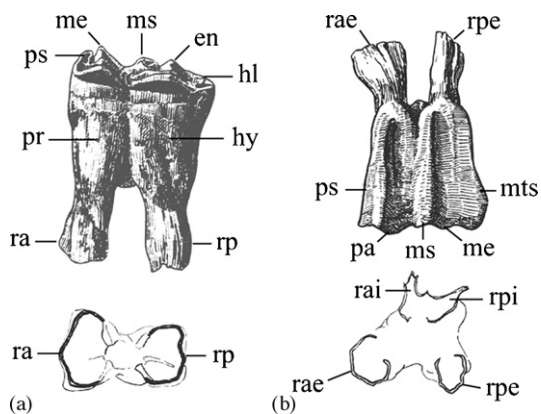


Fig. 4. Vues externes des Pd4 gauches inférieure (à gauche) et supérieure (à droite ; dessins originaux de M. Petit [29]). (a) Pd4 : ra = racine antérieure ; rp = racine postérieure ; pr = protoconide ; ps = parastylide ; me = métacoïde ; ms = métastylide ; en = endocoïde ; hl = hypoconulide ; hy = hypoconide. (b) Pd4 : rae = racine antérieure externe ; rpe = racine postérieure externe ; rai = racine antérieure interne ; rpi = racine postérieure interne ; ps = parastyle ; pa = paracône ; ms = mésostyle ; me = métacône ; mts = métastyle.

Fig. 4. External views of the left lower (left) and upper dP4 (right; original illustrations by M. Petit [29]). (a) Pd4: ra = anterior root; rp = posterior root; pr = protoconid; ps = parastylid; me = metaconid; ms = metastylid; en = endoconid; hl = hypoconulid; hy = hypoconid. (b) Pd4 : rae = external anterior root; rpe = external posterior root; rai = internal anterior root; rpi = internal posterior root; ps = parastyle; pa = paracone; ms = mesostyle; me = metacone; mts = metastyle.

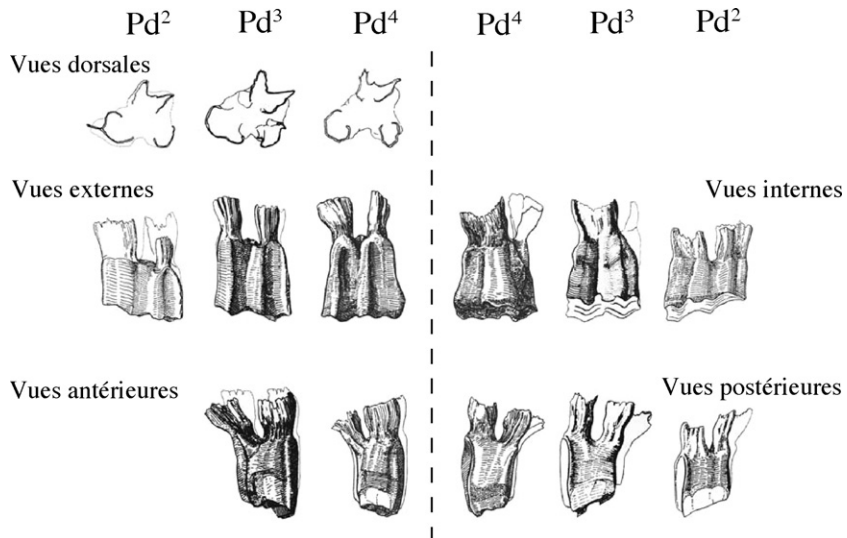


Fig. 5. Représentation des dents jugales déciduales supérieures (dessins originaux de M. Petit [29]) : face externe, face interne, face antérieure, face postérieure, face dorsale.

Fig. 5. Left upper jugal milk teeth representations (original illustrations by M. Petit [29]): external side, internal side, anterior side, posterior side, dorsal side.

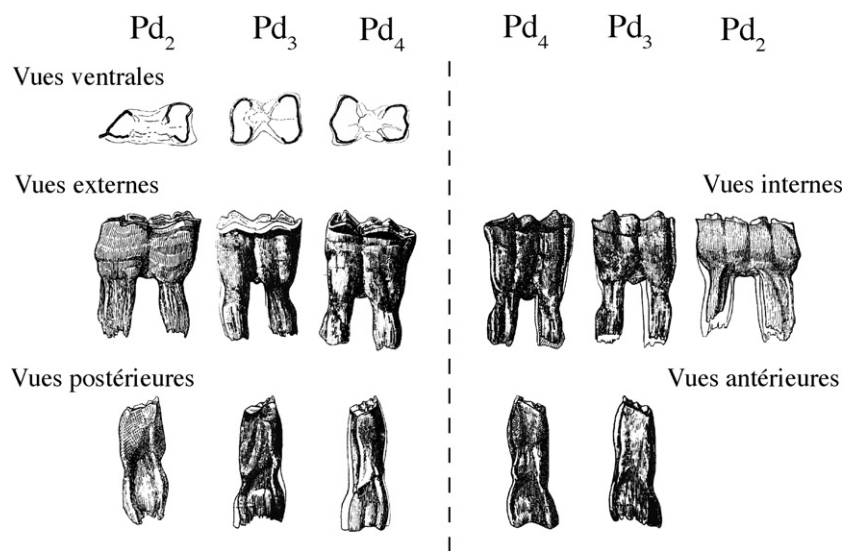


Fig. 6. Représentation des dents jugales déciduales inférieures gauches (dessins originaux de M. Petit [29]) : face externe, face interne, face antérieure, face postérieure, face ventrale.

Fig. 6. Left lower jugal milk teeth representations (original illustrations by M. Petit [29]): external side, internal side, anterior side, posterior side, ventral side.

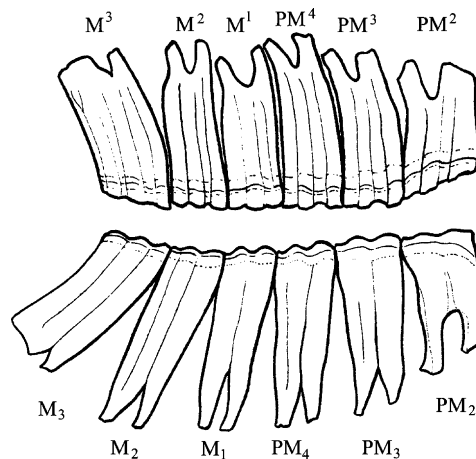


Fig. 7. Dents jugales définitives supérieures (en haut) et inférieures (en bas ; dessins originaux de M. Petit [29]) : PM = prémolaire ; M = molaire.  
Fig. 7. Upper (top) and lower permanent jugal teeth (bottom; original illustrations by M. Petit [29]): PM = premolar; M = molar.

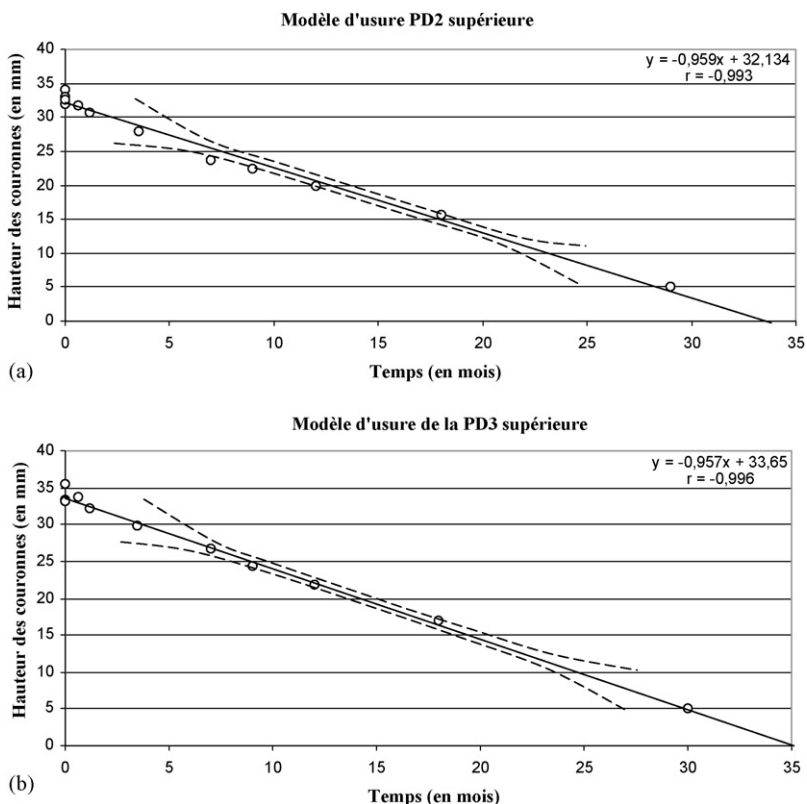


Fig. 10. Droites de régression modélisant l'usure régulière des dents jugales déciduales supérieures : (a) dP2, (b) dP3. Les traits en pointillé représentent l'intervalle de confiance à 95%.

Fig. 10. Linear regressions modelling the regular wear of the upper jugal milk teeth: (a) dP2, (b) dP3. The dotted lines represent the standard error (95%).

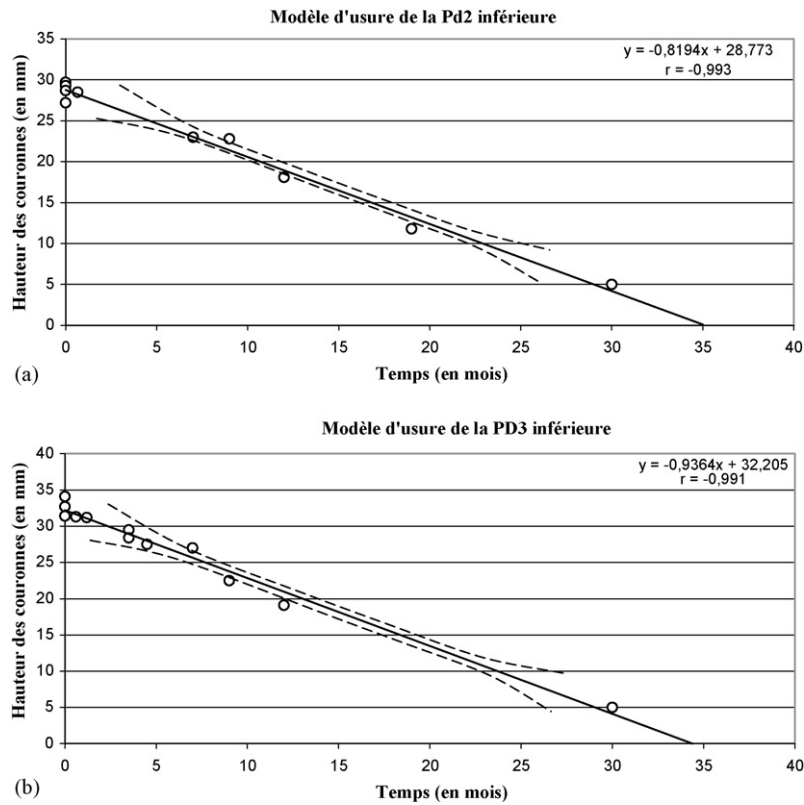


Fig. 11. Droites de régression modélisant l'usure régulière des dents jugales déciduales inférieures: (a) dP2, (b) dP3. Les traits en pointillé représentent l'intervalle de confiance à 95%.

Fig. 11. Linear regressions modelling the regular wear of the lower jugal milk teeth: (a) dP2, (b) dP3. The dotted lines represent the standard error (95%).